

# Modélisation d'images par espace BV et espaces de fonctions oscillantes

**Jérôme Gilles**

**DGA-IP/ASC/EORD, CMLA/ENS Cachan**

**[gilles.research@free.fr](mailto:gilles.research@free.fr)**

**<http://jerome.gilles91.free.fr>**

# Introduction

De nombreuses applications nécessitent l'analyse des textures.  
Défense → différents types d'imagerie → différents types de textures



# Introduction

De nombreuses applications nécessitent l'analyse des textures.  
Défense → différents types d'imagerie → différents types de textures



# Introduction

De nombreuses applications nécessitent l'analyse des textures.  
Défense → différents types d'imagerie → différents types de textures



# Introduction



# Introduction

346:09:10:29:941

346:09:10:29:927



# Introduction

346:09:10:29:941

346:09:10:29:945



- Difficulté de donner une définition unique de la texture,
- De nombreux points de vue:
  - Approches fréquentielles,
  - Approches statistiques,
  - Notion de “texton”,
  - Approches analyse fonctionnelle

→ point de vue de l'analyse fonctionnelle, les textures étant modélisées comme des fonctions oscillantes.

Quels espaces de fonctions choisir? Comment décrit-on un modèle de texture?



Soit une image  $f$  définie sur  $\mathbb{R}^n$  ou  $\Omega = [0; 1]^n$  (puis périodisation de  $f$ ).

Soit  $X(\mathbb{R}^n)$  ou  $X(\Omega)$  des espaces de fonctions.

But: modéliser  $f = u + v$  où

- $u$  sera la composante régulière ou “géométrique” (objets, . . .),
- $v$  la composante “oscillante” (textures ou bruit)

On cherche  $f \in X_1 + X_2$  tel que  $f = u + v$  avec  $u \in X_1$  et  $v \in X_2$ .

La décomposition étant obtenue par le problème de minimisation suivant:

$$(\hat{u}, \hat{v}) = \inf_{(u,v) \in X_1 \times X_2} \{F_1(u) + \lambda F_2(v), f = u + v\}$$

où  $F_1, F_2 > 0$  et  $X_1, X_2$  sont des espaces de fonctions ou distributions

tels que  $F_1(u) < \infty$  et  $F_2(v) < \infty$  ssi  $(u, v) \in X_1 \times X_2$ .

Comment choisir les espaces  $X_1$  et  $X_2$ ?

Une bonne idée est de prendre  $X_1, X_2$  tels que

- $F_1(u) \ll F_2(u)$
- $F_2(v) \ll F_1(v)$

But initial: débruitage, restauration

$$(\hat{u}, \hat{v}) = \inf_{(u,v) \in BV \times L^2} \{J(u) + \lambda \|v\|_{L^2}^2, f = u + v\}$$

où  $J(u) = |u|_{BV} = \int |Du|$  (semi-norme sur  $BV$  l'espace des fonctions à variations bornées).

⇒ pas adapté pour capturer correctement les fonctions oscillantes.

Soit la fonction  $g_N(x) = \chi(x) \cos(Nx_1)$  où  $\chi(x)$  est la fonction indicatrice sur un domaine fini,  $N$  la fréquence et  $x_1$  une direction dans l'image. Alors:

$$\|g_N\|_{L^2} \approx \frac{1}{\sqrt{2}} \|\chi\|_{L^2}$$
$$J(g_N) = \frac{2N}{\pi} \|\chi\|_{L^1} + \epsilon_N$$

La composante  $v$  ne dépend pas de  $N$ , elle se comporte de la même façon quelque soit la texture.

## Autres défauts:

- Le modèle n'a aucun sens dans le cas continu si l'on a la présence de bruit blanc gaussien car la norme  $L^2$  est infinie ( $\Rightarrow$  utilisation d'espaces à indices de régularité  $< 0$ ),
- Phénomène de “perte d'intensité”: si  $f = \alpha\chi_D$  alors  $\forall R \geq \frac{1}{\lambda\alpha}$  ( $R$  le rayon du disque  $D$ ) on a

$$u = \left( \alpha - \frac{1}{\lambda R} \right) \chi_D$$
$$v = \frac{1}{\lambda R} \chi_D$$

Pb “général”: si  $q > 1, \forall p \geq 1$  alors  $J(u) + \lambda \|f - u\|_{L^p}^q$  a ce défaut.

Idée: prendre des normes plus faibles de fonctions généralisées pour modéliser  $v$ .

Trois espaces retenus par Meyer:

- $E = \dot{B}_{-1,\infty}^\infty$ ,
- $F = \operatorname{div}(BMO \times BMO)$ ,
- $G = \operatorname{div}(L^\infty \times L^\infty)$

Autre candidat:  $W^{s,p}$  avec  $s < 2$ .

# Les espaces $E$ et $F$

- $E = \dot{B}_{-1,\infty}^\infty$ : espace de Besov  $\rightarrow$  Travaux de A.Haddad, Y.Meyer.
- $F = \text{div}(BMO \times BMO)$ :  $v \in F$  si  $\exists g = (g_1, g_2) \in BMO \times BMO$  tel que  $v = \text{div } g$  et

$$\|v\|_F = \inf_g \{ \|g_1\|_{BMO} + \|g_2\|_{BMO} \}$$

où  $BMO$  (Bounded Mean Oscillation) sont les espaces John et Nirenberg avec

$$\|f\|_{BMO} = \sup_Q \frac{1}{|Q|} \int_Q |f - f_Q| dx \quad \text{où} \quad f_Q = \frac{1}{|Q|} \int_Q f(x) dx$$

$\rightarrow$  Travaux de J.B.Garnett, P.Jones, T.M.Le, L.Vese  
(utilisation de  $W^{s,p}$ ,  $\dot{B}_{p,\infty}^s$  avec  $s < 0$ )



Quelques rappels sur  $BV$ :

$$J(u) = \sup \left\{ - \int_{\Omega} u \operatorname{div} \phi \, dx : \phi \in C_c^{\infty}(\Omega, \mathbb{R}^N), |\phi| \leq 1 \, \forall x \in \Omega \right\}$$

et la norme associée à  $BV$  est  $\|\cdot\|_{BV} = \|\cdot\|_{L^1} + J(\cdot)$ .

Rigoureusement, le dual de  $BV$  n'est pas un espace fonctionnel mais si l'on note  $\mathcal{BV}$  la fermeture de  $BV$  dans  $\mathcal{S}(\mathbb{R}^2)$ , alors  $\mathcal{BV}$  a un dual noté  $G$ .

Soit  $v \in G$ , alors  $\exists g = (g_1, g_2) \in L^{\infty} \times L^{\infty}$  tel que  $v = \operatorname{div} g$  et

$$\|v\|_G = \inf_g \left\| \left( |g_1|^2 + |g_2|^2 \right)^{\frac{1}{2}} \right\|_{L^{\infty}}.$$

$BV$  et  $G$  ne sont pas directement duaux mais ont des “comportements duaux” ( $BV$  pour les structures et  $G$  pour ce qui oscille).

En effet, pour  $g_N(x) = \chi(x) \cos(Nx_1)$ , on vérifie que

$$\|g_N\|_G \leq \frac{C}{N}$$



La fonctionnelle proposée par Meyer est donc

$$(\hat{u}, \hat{v}) = \inf_{(u,v) \in BV \times G} \{J(u) + \lambda \|v\|_G, f = u + v\}$$

Problème: impossible de faire de calcul variationnel à cause de la norme  $\|\cdot\|_{L^\infty}$  présente dans la définition de la norme  $\|\cdot\|_G$ .

Propriété:  $\forall f \in L^\infty, \|f\|_{L^\infty} = \lim_{p \rightarrow \infty} \|f\|_{L^p}$ .

$$(\hat{u}, \hat{g}) = \inf_{(u, g) \in BV \times (L^\infty \times L^\infty)} \left\{ J(u) + \lambda \|f - (u + \operatorname{div} g)\|_{L^2}^2 + \mu \left\| \sqrt{g_1^2 + g_2^2} \right\|_{L^p} \right\}$$

Euler-Lagrange:

$$\begin{cases} u = f - \partial_x g_1 - \partial_y g_2 + \frac{1}{\lambda} \operatorname{div} \left( \frac{\nabla u}{|\nabla u|} \right) \\ \mu \left( \left\| \sqrt{g_1^2 + g_2^2} \right\|_{L^p} \right)^{1-p} \left( \sqrt{g_1^2 + g_2^2} \right)^{p-2} g_1 = 2\lambda \left[ \frac{\partial}{\partial x} (u - f) + \partial_{xx}^2 g_1 + \partial_{xy}^2 g_2 \right] \\ \mu \left( \left\| \sqrt{g_1^2 + g_2^2} \right\|_{L^p} \right)^{1-p} \left( \sqrt{g_1^2 + g_2^2} \right)^{p-2} g_2 = 2\lambda \left[ \frac{\partial}{\partial y} (u - f) + \partial_{xy}^2 g_1 + \partial_{yy}^2 g_2 \right] \end{cases}$$

→ Problèmes d'instabilités numériques + hypothèse ( $p \rightarrow \infty$ ) non respectée.

# En pratique: L'approche d'Aujol

- cadre discret:  $X = \mathbb{R}^N \times \mathbb{R}^N$ ,  $Y = X \times X$  équipés de produits scalaires et normes euclidiens,
- $\rightarrow G = \{v \in X / \exists g \in Y, v = \operatorname{div} g\}$ ,
- les textures sont un minimum oscillantes  $\rightarrow \exists \mu > 0$  tel que  $\|v\|_G \leq \mu$

On définit alors

$$G_\mu = \{v \in X / \|v\|_G \leq \mu\}$$

et la fonction indicatrice associée:

$$J^*(v) = \chi_{G_1}(v) = \begin{cases} 0 & \text{si } v \in G_1 \\ +\infty & \text{sinon} \end{cases}$$

Propriété:  $J^*$  est l'opérateur dual de  $J$  ( $J^{**} = J$ ).

La fonctionnelle à minimiser est alors:

$$(\hat{u}, \hat{v}) = \inf_{(u,v) \in BV \times G_\mu} \left\{ J(u) + J^* \left( \frac{v}{\mu} \right) + (2\lambda)^{-1} \|f - u - v\|_{L^2}^2 \right\}$$

⇒ Utilisation des projecteurs non-linéaires de Chambolle:

$$\begin{array}{ll} v \text{ fixé} & \hat{u} = f - v - P_{G_\lambda}(f - v) \\ u \text{ fixé} & \hat{v} = P_{G_\mu}(f - u) \end{array}$$

# Les projecteurs de Chambolle

Il est facile de voir que  $w = P_{G_1} \left( \frac{g}{\lambda} \right)$  (l'opérateur de projection sur  $G_1$ ) est un minimiseur de

$$\frac{\|w - \left(\frac{g}{\lambda}\right)\|^2}{2} + \frac{1}{\lambda} J^*(w)$$

et que  $u = g - P_{G_\lambda} \left( \frac{g}{\lambda} \right)$  est un minimiseur de

$$\frac{\|u - g\|^2}{2\lambda} + J(u)$$

où le projecteur est donné par le résultat suivant:

## Théorème

*Si  $\tau < \frac{1}{8}$  alors  $\lambda \operatorname{div}(p^n)$  converge vers  $P_{G_\lambda}(g)$  quand  $n \rightarrow +\infty$   
où*

$$p_{i,j}^{n+1} = \frac{p_{i,j}^n + \tau \left( \nabla \left( \operatorname{div}(p^n) - \frac{g}{\lambda} \right) \right)_{i,j}}{1 + \tau \left| \left( \nabla \left( \operatorname{div}(p^n) - \frac{g}{\lambda} \right) \right)_{i,j} \right|}$$

- 1 Initialisation:

$$u_0 = v_0 = 0$$

- 2 Itérations:

$$\begin{aligned}v_{n+1} &= P_{G_\mu}(f - u_n) \\u_{n+1} &= f - v_{n+1} - P_{G_\lambda}(f - v_{n+1})\end{aligned}$$

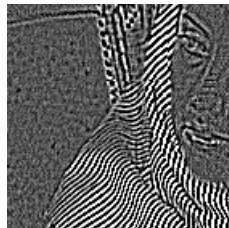
- 3 On arrête l'algorithme si

$$\max(|u_{n+1} - u_n|, |v_{n+1} - v_n|) \leq \epsilon$$

ou si l'on atteint un nombre maximal d'itérations prescrit.



# Exemple

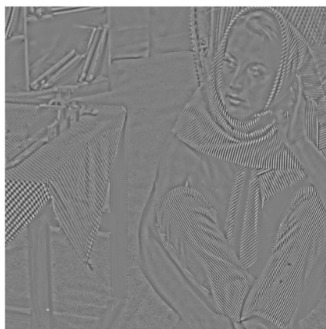


# Sur le choix des paramètres . . .

Le choix de  $\lambda$  et  $\mu$  n'est a priori pas trivial.

Aujol et al. ont proposé une méthode permettant de trouver  $\lambda$  et  $\mu$ :

- $\lambda$  fixé petit,
- $\mu = \lambda^* = \arg_{\lambda} \min(\text{corr}(u_{\lambda}^{ROF}, v_{\lambda}^{ROF}))$



$$\|u\|_{BV} + \lambda \|v\|_{L^2}^2 + \mu \|w\|_G \quad \text{où} \quad f = u + v + w$$

## Theorem (J.Gilles et Y.Meyer à paraître dans IEEE Trans.Image Processing)

*Si  $\|f\|_G \leq \frac{1}{2\lambda}$  et  $\|f\|_{BV} \leq \frac{\mu}{2\lambda}$ , alors  $u = w = 0$  et la décomposition optimale est  $f = 0 + f + 0$ .*

*Si  $\|f\|_G \leq \frac{1}{2\lambda}$  mais que  $\|f\|_{BV} > \frac{\mu}{2\lambda}$ , alors trois cas sont possibles pour la décomposition optimale  $f = u + v + w$ .*

- 1  $u = 0$ ,  $\|v\|_{BV} = \frac{\mu}{2\lambda}$ ,  $\|v\|_G < \frac{1}{2\lambda}$  et  $\langle v, w \rangle = \frac{\mu}{2\lambda} \|w\|_G$ ,
- 2  $w = 0$ ,  $\|v\|_{BV} \leq \frac{\mu}{2\lambda}$ ,  $\|v\|_G = \frac{1}{2\lambda}$  et  $\langle u, v \rangle = \frac{1}{2\lambda} \|u\|_{BV}$  et finalement,
- 3  $\|v\|_{BV} = \frac{\mu}{2\lambda}$ ,  $\|v\|_G = \frac{1}{2\lambda}$ ,  $\langle u, v \rangle = \frac{1}{2\lambda} \|u\|_{BV}$  et  $\langle v, w \rangle = \frac{\mu}{2\lambda} \|w\|_G$ .

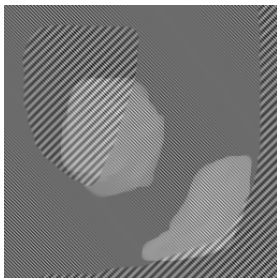
*A l'inverse, tout triplet  $(u, v, w)$  qui vérifie (1), ou (2), ou (3) est optimal pour  $f = u + v + w$  et leur valeurs correspondantes de  $\lambda$  and  $\mu$ .*

## Theorem

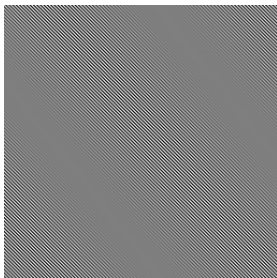
Si  $f(x) = a(x) + b(x) \cos(\omega_1 x + \varphi_1) + c(x) \cos(\omega_2 x + \varphi_2)$  ( $a, b, c$  de classe  $C^1$  à support compact) et si l'on suppose que  $1 \leq \lambda \ll |\omega_1| \ll \frac{\mu}{\lambda} \ll |\omega_2|$  alors  $f = u + v + w$  vérifie pour un certain entier  $j$

$$\|\Delta_j[w](x) - c(x) \cos(\omega_2 x + \varphi_2)\|_{L^1} \leq \epsilon = C \frac{\mu}{\lambda |\omega_2|}.$$

où  $\Delta_j$  est opérateur de type Littlewood-Paley.



$f$



$c(x) \cos(\omega_2 x + \varphi_2)$

## Theorem

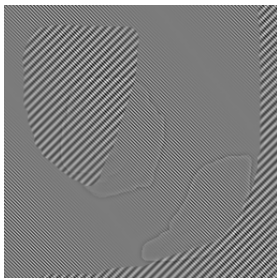
Si  $f(x) = a(x) + b(x) \cos(\omega_1 x + \varphi_1) + c(x) \cos(\omega_2 x + \varphi_2)$  ( $a, b, c$  de classe  $C^1$  à support compact) et si l'on suppose que  $1 \leq \lambda \ll |\omega_1| \ll \frac{\mu}{\lambda} \ll |\omega_2|$  alors  $f = u + v + w$  vérifie pour un certain entier  $j$

$$\|\Delta_j[w](x) - c(x) \cos(\omega_2 x + \varphi_2)\|_{L^1} \leq \epsilon = C \frac{\mu}{\lambda |\omega_2|}.$$

où  $\Delta_j$  est opérateur de type Littlewood-Paley.



Structures



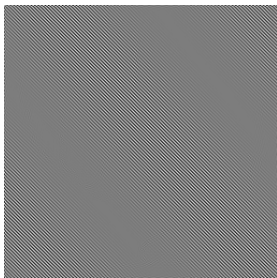
Textures

## Theorem

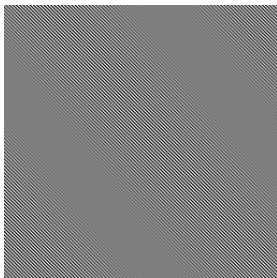
Si  $f(x) = a(x) + b(x) \cos(\omega_1 x + \varphi_1) + c(x) \cos(\omega_2 x + \varphi_2)$  ( $a, b, c$  de classe  $C^1$  à support compact) et si l'on suppose que  $1 \leq \lambda \ll |\omega_1| \ll \frac{\mu}{\lambda} \ll |\omega_2|$  alors  $f = u + v + w$  vérifie pour un certain entier  $j$

$$\|\Delta_j[w](x) - c(x) \cos(\omega_2 x + \varphi_2)\|_{L^1} \leq \epsilon = C \frac{\mu}{\lambda |\omega_2|}.$$

où  $\Delta_j$  est opérateur de type Littlewood-Paley.

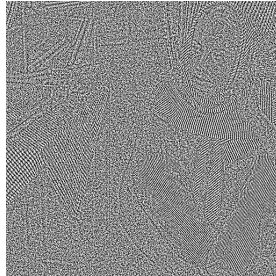


$\Delta_j[w]$



$c(x) \cos(\omega_2 x + \varphi_2)$

# Cas des images bruitées



# Modèle $u + v + w$ adaptatif: principe

- textures  $\in G_{\mu_1}$  et bruit  $\in G_{\mu_2}$  où  $\mu_1 \gg \mu_2$ ,



- adaptabilité locale au contenu de l'image.
  - renforcer la régularisation en l'absence de textures,
  - $\implies \nu(i, j) \in ]0; 1[$  (carte des régions),





# Modèle $u + v + w$ adaptatif: formulation

$$F_{\lambda, \mu_1, \mu_2}^{JG}(u, v, w) = J(u) + J^* \left( \frac{v}{\mu_1} \right) + J^* \left( \frac{w}{\mu_2} \right) \\ + (2\lambda)^{-1} \|f - u - \nu_1 v - \nu_2 w\|_{L^2}^2$$

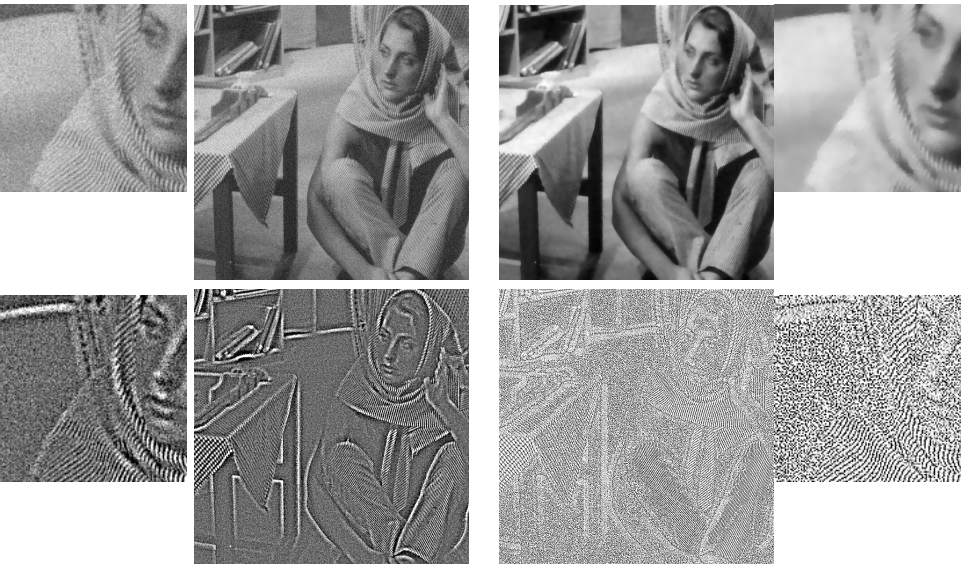
où  $\nu_1 = 1 - \nu_2$  (cartes locales)

$$\hat{u} = f - \nu_1 v - \nu_2 w - P_{G_\lambda}(f - \nu_1 v - \nu_2 w)$$

$$\hat{v} = P_{G_{\mu_1}} \left( \frac{f - u - \nu_2 w}{\nu_1} \right)$$

$$\hat{w} = P_{G_{\mu_2}} \left( \frac{f - u - \nu_1 v}{\nu_2} \right)$$

# Modèle $u + v + w$ adaptatif: résultat



# Modèle $u + v + w$ de Besov

Bruit  $\iff$  distribution  $\in E_\delta = \left\{ w \in \dot{B}_{-1,\infty}^\infty / \|w\|_{\dot{B}_{-1,\infty}^\infty} \leq \delta \right\}$

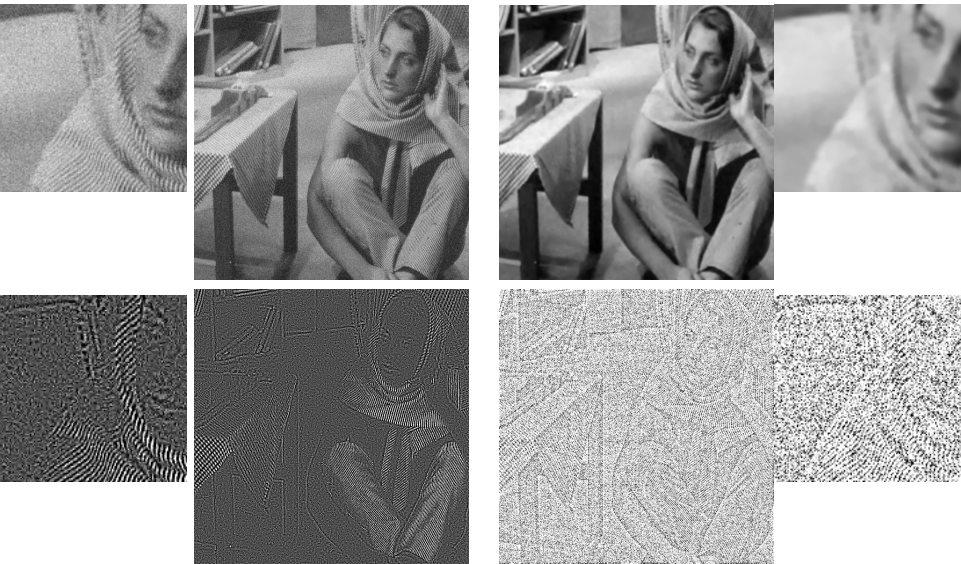
$$F_{\lambda,\mu,\delta}^{AC2}(u, v, w) = J(u) + J^* \left( \frac{v}{\mu} \right) + B^* \left( \frac{w}{\delta} \right) + (2\lambda)^{-1} \|f - u - v - w\|_{L^2}^2$$

$$\hat{u} = f - \hat{v} - \hat{w} - P_{G_\lambda}(f - \hat{v} - \hat{w})$$

$$\hat{v} = P_{G_\mu}(f - \hat{u} - \hat{w})$$

$$\hat{w} = P_{E_\delta}(f - \hat{u} - \hat{v}) = f - \hat{u} - \hat{v} - WST(f - \hat{u} - \hat{v}, 2\delta)$$

# Modèle $u + v + w$ de Besov: résultat



Remplacement: ondelettes  $\implies$  contourlettes

But: apporter une meilleure prise en compte de la géométrie dans les images.

On définit alors:

- Espaces de contourlettes  $CT_{p,q}^s$  et  $\|\cdot\|_{CT_{p,q}^s}$ .
- Seuillage doux  $\iff$  projection sur  $CT_\delta = \left\{ f \in CT_{-1,\infty}^\infty / \|f\|_{CT_{-1,\infty}^\infty} \leq \delta \right\}$ .

# Modèle $u + v + w$ avec contourlettes: résultat

